

Investigating the Soil Evolution and Microbial Respiration along a Semi-Arid Alluvial Fan in Northeastern Iran

M. Hassanzadeh Bashtian¹, A. Karimi^{2*}, A. Sepehr³, A. Lakzian⁴, O. Bayat⁵

1, 2, and 4- Ph.D. Student and Professors, Department of Soil Science College of Agriculture, Ferdowsi University of Mashhad, Mashhad, Iran, respectively.

(*- Corresponding Author Email: karimi-a@um.ac.ir)

3- Associate Professor, Department of Desert and Arid Zones Management College of Natural Resources and Environment, Ferdowsi University of Mashhad, Mashhad, Iran

5- Department of Geography, University of Zurich, Zurich, Switzerland

Received: 30-07-2023
Revised: 13-09-2023
Accepted: 26-09-2023
Available Online: 26-09-2023

How to cite this article:

Hassanzadeh Bashtian, M., Karimi, A., Sepehr, A., Lakzian, A., & Bayat, O. (2023). Investigating the soil evolution and microbial respiration along a semi-arid alluvial fan in northeastern Iran. *Journal of Water and Soil*, 37(5), 733-749. (In Persian with English abstract). <https://doi.org/10.22067/jsw.2023.83632.1313>

Introduction

Soils and landforms have a strong relationship and archive evidence of climatic and environmental changes. Alluvial fans are one of the most important landforms in arid and semi-arid regions of Iran. Climate changes in the Quaternary, especially in the late Pleistocene, had a significant effect on the evolutions of alluvial fans in arid and semi-arid regions. Alternate of sedimentation and soil formation in alluvial are the consequences of periodic climate change. Organisms are one of the main factors of soil formation. Biological crusts are part of organisms that are abundant in dry lands and especially in alluvial fans; however, their role in soil formation has been less studied. Biological soil crusts by providing the suitable biological activity, effect on trapping of aeolian materials and hydrological processes affect the soil formation processes. The chemical properties of the soil affect the catabolic capacity of the soil and it is very different among the different layers of the soil. However, few studies have addressed the effect of processes on soil microbial respiration during change and evolution and pedogenic state. The objectives of this research were to 1) investigate the evolution of soils along the gradient from upstream to downstream of the alluvial fan and 2) investigate the changes in microbial respiration in different layers of soil and the factors affecting it.

Materials and Methods

The studied area is an alluvial fan in Razavi Khorasan province, in the southern slopes of the Binaloud mountain range. The climate of the region is semi-arid and the soil moisture and temperature regimes are Aridic border on Xeric and mesic, respectively. Three soil profile in the upper, middle, and base part of the alluvial fan were described. Bulk and undisturbed soil samples were collected from various soil horizons for subsequent physical, chemical, and micromorphological analyses. In addition, the microbial soil respiration was measured in all horizons. The soils were classified according to Soil Taxonomy and World Reference Base methods.

Results and Discussion

Sequences of sedimentation and soil formation were observed in the soil profiles. Vesicular (V), argillic (Bt), argillic-calcic (Btk), calcic (Bck) and cambic (Bw) horizons were the diagnostic soil horizons of the studied soils. Soil profiles of the middle and base were Xeric Calcicargids in the subgroup category of Soil Taxonomy; while soil profile of the apex soil was Xeric Haplocambids. In the profiles, a thin vesicular horizon (V) was formed under



©2023 The author(s). This is an open access article distributed under [Creative Commons Attribution 4.0 International License \(CC BY 4.0\)](https://creativecommons.org/licenses/by/4.0/), which permits use, sharing, adaptation, distribution and reproduction in any medium or format, as long as you give appropriate credit to the original author(s) and the source.

<https://doi.org/10.22067/jsw.2023.83632.1313>

the desert pavement. Below the vesicular horizon, evidence of clay illuviation, pedogenic carbonate nodules, and calcium oxalates in roots were observed in thin sections. This evidence shows the role of biological crusts in the formation of these features. In the lower horizons of the profiles, pedogenic carbonate nodules, carbonates pendants and clay coatings were observed. It seems that the upper soil (vesicular and underlying Bt horizons) were developed in the more humid periods of the Holocene, and biological crusts also played a key role in the processes of calcification and clay illuviation. The argillic horizons in the lower layers were formed during the stable periods of the late Pleistocene. The irregular microbial respiration mainly indicated difference in microbial activities labile organic matter content. The argillic horizons had the lowest microbial respiration, due to decomposition of organic materials during soil formation. In contrast, soil respiration was the highest in surface and calcic horizons. It seems that preservation of organic materials by carbonate complication. However, it is suggested to investigate the carbon fractions in relation to microbial biomass in the studied horizons.

Conclusion

In this area, biological crusts and vegetation affected the formation of soil in the aeolian sediments of the Vk and AVk horizons and played a significant role in creating the Bt horizon in profiles 2 and 3. The study of landform profiles showed the formation of calcic and argillic horizons in the past climate, while the Bt horizon of the upper layers was formed in the current Holocene period. This form of the argillic horizon is slightly different from the soils of the Iranian region because these horizons have not been reported so far. It has been proven that there were humid periods in the Holocene, and it needs more studies at present. The study of soil microbial respiration in landform horizons showed that argillic horizons decreased the amount of microbial respiration, while it increased in classical horizons.

Keywords: Argillic horizon, Biocrust, Calcium oxalate, Soil micromorphology, Vesicular horizon

مقاله پژوهشی

جلد ۳۷، شماره ۵، آذر-دی ۱۴۰۲، ص. ۷۴۹-۷۳۳

بررسی فرآیندهای تغییر و تحول و تنفس میکروبی خاک در امتداد یک مخروط افکنه نیمه خشک در شمال شرق ایران

مهوان حسن زاده بشتیان^۱ - علیرضا کریمی^{۲*} - عادل سپهر^۳ - امیر لکزیان^۴ - امید بیات^۵

تاریخ دریافت: ۱۴۰۲/۰۵/۰۸

تاریخ پذیرش: ۱۴۰۲/۰۷/۰۴

چکیده

خاک‌ها با اشکال اراضی که بر روی آن‌ها تکامل می‌یابند، ارتباط تنگاتنگ دارند و ویژگی‌های آن‌ها به نوبه خود بر تکامل ژئوفرم‌ها تأثیر می‌گذارد. این پژوهش به بررسی تغییر و تحول خاک در امتداد گرادیان ارتفاعی یک مخروط افکنه نیمه خشک در جنوب رشته کوه بینالود در شمال شرق ایران پرداخته است. همچنین، تأثیر فرآیندهای خاک بر تنفس میکروبی مورد بررسی قرار گرفت. بدین منظور در بخش بالایی، میانی و قاعده مخروط افکنه، هر کدام، یک خاکرخ شاهد تشریح و از افق‌های آنها نمونه برداری شد. آزمایش‌های معمول فیزیکی و شیمیایی، میکرومورفولوژی و تنفس میکروبی بر روی نمونه‌ها انجام شد. همچنین، طبقه‌بندی خاکرخ‌های مطالعاتی براساس دو سامانه آمریکایی و جهانی صورت گرفت. در هر سه خاکرخ، توالی‌های رسوبگذاری و خاک‌سازی مشاهده شد. افق‌های وزیکولار (V)، آرچیلیک (Bt)، آرچیلیک-کلسیک (Btk)، کلسیک (Bck) و کمبیک (Bw) شناسایی شدند. هر دو سامانه بخش بالایی را در طبقه‌بندی متمایزی از دو بخش دیگر قرار دادند. خاک‌های میانه و قاعده مخروط افکنه براساس سامانه رده‌بندی آمریکایی در زیرگروه Xeric Calciargids قرار گرفتند، در حالی که خاکرخ بالایی را در حالی که خاکرخ بالایی را در هر سه خاکرخ افق وزیکولار نازک در زیر سنگفرش بیابانی، تشکیل شده بود. در زیر افق وزیکولار، شواهد پوسته‌های رسی، نودول‌های کربنات پدوژنیک و اگزالات‌های کلسیم در ریشه‌ها در مقاطع نازک مشاهده شد. این شواهد نشان‌دهنده نقش پوسته‌های زیستی در تشکیل این ویژگی‌ها است. در افق‌های زیرین خاکرخ‌ها، نودول‌های کربنات پدوژنیک، پندانت‌های آهکی و پوسته‌های رسی مشاهده شد. وجود توالی‌های رسوبگذاری و افق‌های کلسیک و آرچیلیک، نشان‌دهنده تشکیل آن‌ها در تناوب تغییرات اقلیمی است. به نظر می‌رسد که خاک روئین در هر سه خاکرخ، در دوره‌های مرطوب‌تر هولوسن تشکیل شده است و پوسته‌های زیستی هم در فرآیندهای آهکی شدن و انتقال و تجمع رس نقش داشته‌اند. افق‌های آرچیلیک در لایه‌های زیرین، در دوره‌های پایدار پلیستوسن انتهایی تشکیل شده‌اند. مطالعه تنفس میکروبی خاک در افق‌های مختلف نشان داد که در افق‌های آرچیلیک میزان تنفس میکروبی کاهش یافته است؛ در حالی که در افق‌های کلسیک افزایش داشته است. پیشنهاد می‌شود در مطالعات بعدی مقادیر اجزای کربن در ارتباط با زیست‌توده میکروبی در افق‌ها و خاک‌های قدیمی بررسی گردد.

واژه‌های کلیدی: افق آرچیلیک، افق وزیکولار، اگزالات کلسیم، پوسته زیستی، میکرومورفولوژی خاک

۱، ۲ و ۴ - به ترتیب دانشجوی دکتری و استادان گروه مهندسی علوم خاک، دانشکده کشاورزی، دانشگاه فردوسی مشهد، مشهد، ایران

۳ - دانشیار گروه مدیریت مناطق خشک و بیابانی، دانشگاه فردوسی مشهد، مشهد، ایران

۵ - گروه جغرافیا، دانشگاه زوربخ، زوربخ، سوئیس

* - نویسنده مسئول: (Email: karimi-a@um.ac.ir)

مقدمه

کانی‌شناسی، از مهم‌ترین شواهد مطالعه و تشخیص این خاک‌ها و شرایط تشکیل آنها است (Bullock *et al.*, 1985; Stoops, 2018). موجودات زنده یکی از عوامل اصلی تشکیل خاک هستند (Jenny, 1981). از ابتدایی‌ترین موجودات زنده که باعث هوادیدگی کانی‌ها و تجمع رسوبات و عناصر با ایجاد پستی و بلندی می‌شوند (Williams *et al.*, 2012)، پوسته‌های زیستی خاک^۱ هستند که شامل سیانوباکترها، جلبک‌ها، قارچ‌ها، گل‌سنگ‌های خاکریز و خزها می‌باشند (Weber *et al.*, 2022). پوسته‌های زیستی، نقش حیاتی در فرآیندهای خاک از جمله هوادیدگی سطحی و فرآیندهای هیدرولوژیکی مانند نفوذ و تبخیر، ایفا می‌کنند (Sun *et al.*, 2023). آن‌ها باعث افزایش کربن آلی، تنفس میکروبی، خاکدانه‌سازی و ایجاد مقاومت در برابر فرسایش خاک می‌شوند (Xiao *et al.*, 2022). تنفس میکروبی خاک طی مصرف مواد آلی توسط ریزجانداران، باعث تولید دی‌اکسید کربن اتمسفر می‌شود. این موضوع، نشان‌دهنده فعالیت متابولیکی کلی جمعیت‌های میکروبی خاک است و معمولاً به‌عنوان شاخص سلامت خاک استفاده می‌شود. خواص شیمیایی خاک بر ظرفیت کاتابولیک خاک تأثیر می‌گذارد و در بین لایه‌های مختلف خاک بسیار متفاوت هستند (Weldmichael *et al.*, 2020). دی‌اکسید کربن تولید شده توسط فعالیت بیولوژیکی موجودات خاک، یک جریان اصلی در چرخه جهانی کربن محسوب می‌شود (Le Quéré *et al.*, 2015). غلظت بالای دی‌اکسید کربن در اعماق بیش از یک متر توسط پژوهشگران مختلف (از جمله: Wood *et al.*, 1993; Trumbore *et al.*, 2006) مشاهده شده است. با این وجود، تعداد کمی از مطالعات به اثر فرآیندها بر تنفس میکروبی خاک در طول تغییر و تحولات خاکسازي پرداخته است. مخروط‌افکنه‌ها، از مهم‌ترین شکل‌های اراضی مناطق خشک و نیمه‌خشک ایران هستند. تناوب رسوبگذاری و خاک‌سازی، از ویژگی‌های شناخته شده در مخروط‌افکنه‌ها می‌باشند که برای مطالعات تغییر و تحولات خاک و شکل اراضی مناسب هستند (Stock *et al.*, 2008; Ghasemzadeh Ganjehie *et al.*, 2017). پوسته‌های زیستی، بخشی از موجودات زنده هستند که در مناطق خشک و در مخروط‌افکنه‌ها به فراوانی وجود دارند؛ ولی کمتر به نقش آنها در تشکیل خاک پرداخته شده است. هدف از این پژوهش، (۱) بررسی تغییر و تحول خاک‌ها در امتداد گرادیان یک مخروط‌افکنه از بالادست به سمت پایین‌دست آن براساس ویژگی‌های مورفولوژیکی و میکرومورفولوژی خاک و (۲) بررسی تغییرات تنفس میکروبی در افق‌ها و یا لایه‌های مختلف خاک و تعیین عوامل مؤثر بر آن‌ها می‌باشد.

خاک‌ها زمانی که در شرایط محیطی پایدار قرار گیرند با تغییر خصوصیات بیولوژیکی، شیمیایی و فیزیکی تحت تأثیر عوامل خاک‌سازی به سمت تکامل پیش می‌روند. افق‌های خاک‌ها از تعامل عوامل و فرآیندهای خاک‌سازی در محیط پویای شکل‌های اراضی ایجاد می‌شوند. موقعیت تشکیل خاک در شکل اراضی و اقلیم از جمله عوامل خاک‌سازی هستند که سرعت تشکیل و تحول خاک را مشخص می‌کنند (Buol *et al.*, 2011). خاک‌ها ارتباط نزدیک و متقابلی با شکل‌های اراضی که بر روی آن‌ها تشکیل شده‌اند، دارند و شاهدی بر تغییرات اقلیمی و محیطی هستند که در طی زمان تغییر می‌کنند. بنابراین، اطلاعات حاصل از خاک‌ها برای بازسازی تغییر و تحول شکل‌های اراضی به‌کار برده می‌شود (Schaeztl and Thompson, 2015). تغییرات اقلیمی در کوتاه‌مدت، به‌ویژه در پلئستوسن انتهایی، تأثیر قابل توجهی بر تغییر و تحولات مخروط‌افکنه‌ها در مناطق خشک و نیمه‌خشک داشته است. در دوره‌های مرطوب پلئستوسن، جریان‌های آبرفتی، مواد رسوبی بیشتری را به مناطق پایین‌دست انتقال داده و موجب شکل‌گیری گسترده مخروط‌افکنه‌ها شده است (Ponti, 1985; Stock *et al.*, 2008). اگر چه ترتیب و توالی رسوبگذاری مخروط‌افکنه‌ها در پاسخ به تغییرات اقلیم و در نتیجه پوشش گیاهی رخ داده است؛ با این حال، نقش عوامل دیگر به‌ویژه تکتونیک، سازند زمین‌شناسی، شرایط توپوگرافی و هیدرولوژی نیز از عوامل تعیین‌کننده در تشکیل و گسترش مخروط‌افکنه‌ها هستند. تناوب رسوبگذاری و خاک‌سازی در شکل‌های اراضی دامنه‌ای، به‌ویژه در مخروط‌افکنه‌ها، به‌عنوان شواهدی از تغییر و تحول مخروط‌افکنه استفاده شده است (Stock *et al.*, 2008; Bayat *et al.*, 2013; Ghasemzadeh Ganjehie *et al.*, 2017).

در دوره‌های عدم ثبات، رسوبگذاری در مخروط‌افکنه فعال است و بسته به شدت این فرآیند، ممکن است رسوبات مختلفی از نظر اندازه ذرات و جورشدگی منتقل شوند که لایه‌بندی متفاوت این رسوبات گواه این مطلب است (Stock *et al.*, 2008). در دوره‌های ثبات، شرایط برای تشکیل خاک مناسب است که بر اساس شرایط محیطی، خاک‌های باتکامل متفاوت تشکیل می‌شوند. به‌عنوان مثال، افق‌های آرجیلیک، یکی از متکامل‌ترین افق‌های تشکیل شده در مناطق خشک هستند که معمولاً در دوره‌های مناسب پلئستوسن تشکیل شده‌اند. در حالی که خاک‌های تشکیل شده در هولوسن معمولاً تکامل کمی دارند و دارای افق‌های کلسیک و کمبیک هستند (Khormali *et al.*, 2003; Karimi *et al.*, 2011; Rashidi *et al.*, 2022). شواهد مورفولوژیکی افق‌ها در صحرا، ویژگی‌های میکرومورفولوژیکی و

مواد و روش‌ها

منطقه مورد مطالعه

منطقه مورد مطالعه یک مخروط افکنه در استان خراسان رضوی و در دامنه‌های جنوبی بینالود می‌باشد که در محدوده جغرافیایی $36^{\circ}10'39''$ تا $36^{\circ}10'13''$ طول شرقی و $59^{\circ}0'18''$ تا $58^{\circ}59'34''$ عرض شمالی واقع شده است (شکل ۱). مخروط افکنه مورد مطالعه در سطح اراضی هموار قرار دارد، زیرا شیب آن بین ۳-۸ درصد و شدت پستی و بلندی (میانگین ۴۶/۵ متر بر کیلومتر (ارتفاع به فاصله)) کمتر از ۵۰ متر بر کیلومتر است. فرم شیب به صورت شعاعی و محدب می‌باشد. رسوبات آن از سازندهای بالادست تشکیل شده‌اند که از سنگ‌های رسوبی کربناتی سنگ آهک و دولومیت، سنگ‌های رسوبی آواری ماسه سنگ و کنگلومرا، شیل و کوارتزیت دگرگون شده و سنگ‌های آذرین بازالت، آندزیت و توف منشأ گرفته‌اند (Geological map of [Neyshabur, 1:100000 scale](#)). این منطقه دارای پوشش گیاهی یکساله، چندساله و بوته‌ای، و همچنین، دارای پوسته‌های زیستی خزه، گل‌سنگ، سیانوباکتر و جلبک سبز است (Bashtian et al., 2019).

منطقه مورد مطالعه در حوزه آبریز نیشابور قرار گرفته و میانگین دمای سالیانه آن، ۱۳/۵ درجه سلسیوس و میانگین بارش سالیانه آن، ۲۴۷/۴ میلی‌متر می‌باشد (بر اساس داده‌های ایستگاه‌های سینوپتیک و کليما تولوژی سال‌های ۱۹۹۱-۲۰۱۷ از سازمان هواشناسی کشور) و منطقه از اقلیمی نیمه‌خشک (بر اساس اقلیم‌نمای دومارتن) بهره می‌برد (Dowlatabadi et al., 2022). براساس اطلاعات اقلیمی رژیم رطوبتی خاک منطقه، اریدیک در مرز زیریک^۱ و رژیم حرارتی خاک آن، مزیک^۲ محاسبه شد (Soil Survey Staff, 2022).

مطالعات صحرائی

حفر خاک‌رخ‌ها برای بررسی تغییر و تحول خاک در امتداد گرادیان ارتفاعی، در سه بخش بالایی (خاک‌رخ شماره ۱)، میانه (خاک‌رخ شماره ۲) و قاعده (خاک‌رخ شماره ۳) مخروط افکنه در فواصل ۳۰۰ متری از یکدیگر انجام شد. پس از تشریح صحرائی خاک‌رخ‌ها، از افق‌های ژنتیکی آن‌ها برای انجام تجزیه‌های فیزیکی و شیمیایی لازم نمونه‌برداری شد. همچنین نمونه خاک دست‌نخورده به منظور انجام مطالعات میکرومورفولوژی از برخی افق‌ها برداشت گردید، بدین صورت که اطراف نمونه را خالی و سپس در جعبه مخصوص قرار داده و به آزمایشگاه منتقل شد. به علاوه، نمونه‌های مرطوب خاک برای اندازه‌گیری تنفس میکروبی هر کدام از افق‌ها برداشت شد.

آنالیزهای آزمایشگاهی

نمونه‌های خاک، پس از انتقال به آزمایشگاه، به منظور انجام تجزیه‌های فیزیکی و شیمیایی، هوا خشک و سپس از الک دو میلی‌متری عبور داده شدند. سپس، بافت خاک آن‌ها به روش هیدرومتر (ASTM 152H) (Gee and Bauder, 1986)، قابلیت هدایت الکتریکی (EC) و اسیدیته (pH) در سوسپانسیون ۱:۱ خاک - آب توسط هدایت‌سنج الکتریکی و پی‌اچ‌متر (Jenway Inc, England)، میزان کربنات کلسیم معادل به روش تیتراسیون برگشتی (Allison and Moodie, 1965)، گچ به روش آون خشک (Omran, 2016) و کربن آلی خاک به روش اکسایش دی‌کرومات (Nelson and Sommers, 1996) اندازه‌گیری شدند. اندازه‌گیری تنفس میکروبی به روش تیتراسیون برگشتی انجام گرفت (Anderson, 1982). برای این منظور، ۳۰ گرم خاک تازه را در یک پلیت کوچک در یک ظرف ۱۰۰۰ میلی‌لیتری حاوی ۱۰۰ میلی‌لیتر هیدروکسید سدیم ۰/۰۵ مولار قرار داده و درپوش آن را بسته و در دمای ۲۵ درجه سلسیوس به مدت سه روز نگهداری گردید، سپس به هیدروکسید سدیم ۱۰ میلی‌لیتر کلرید باریم اضافه شد و در نهایت محلول با هیدروکلریک اسید ۰/۰۵ مولار در حضور فنل فتالین به روش تیتراسیون برگشتی اندازه‌گیری شد. همچنین از نمونه‌های مرطوب برای اندازه‌گیری رطوبت خاک به روش وزنی (آون خشک) استفاده گردید.

نمونه‌های دست‌نخورده پس از اینکه هوا خشک شدند، با استفاده از ترکیب ۶۰ درصد رزین پلی‌استر، ۴۰ درصد استون، ۱۴ قطره اسید استئاریک و ۷ قطره کبالت، به آرامی اشباع شدند. نمونه‌ها پس از حدود دو ماه، خشک و سپس توسط دستگاه برش، به قطعات کوچکتر تبدیل شدند و در ادامه بر روی لام چسبانده و نازک گردیدند. سپس با پودر کراندوم به ضخامت ۳۰ میکرون متر رسانده شدند. به منظور مطالعه میکرومورفولوژی، مقاطع نازک حاصل توسط میکروسکوپ پلاریزان در نور عادی (PPL^۳) و پلاریزه متقاطع (XPL^۴) براساس روش استوپس (2003) بررسی و عکس‌برداری شدند.

با توجه به مطالعات صحرائی و نتایج آزمایشگاهی حاصل، خاک‌رخ‌های مورد نظر بر اساس سامانه‌های رده‌بندی آمریکایی^۵ (Soil Survey Staff, 2022) و جهانی^۶ (WRB, 2022) طبقه‌بندی شدند.

4- Cross Polarized Light

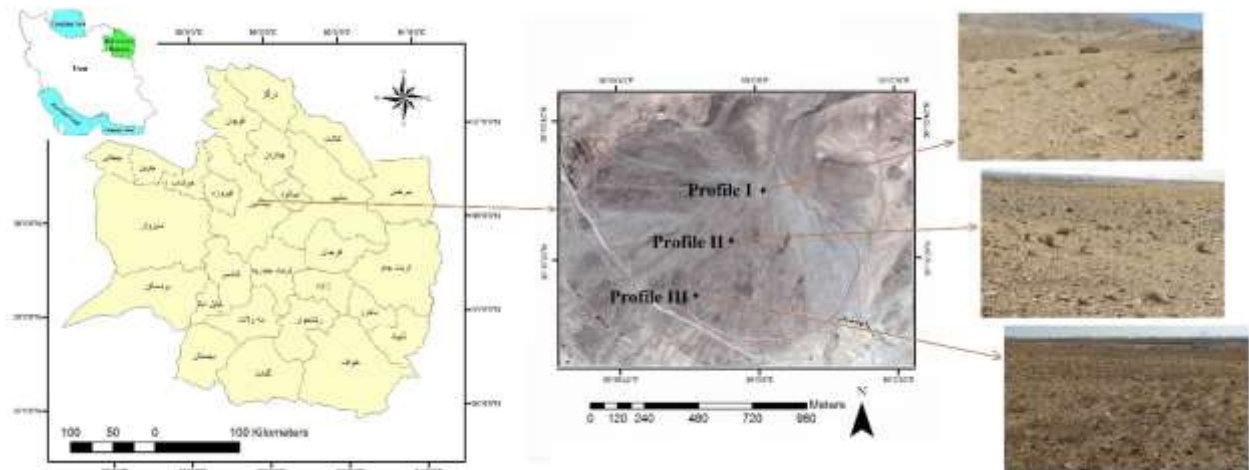
5- Soil Taxonomy

6- WRB (World Reference Base)

1- Aridic border on Xeric

2- Mesic

3- Plain Polarized Light



شکل ۱- موقعیت منطقه و خاکرخ‌های مورد مطالعه در آن به همراه نمای سطحی مخروط افکنه

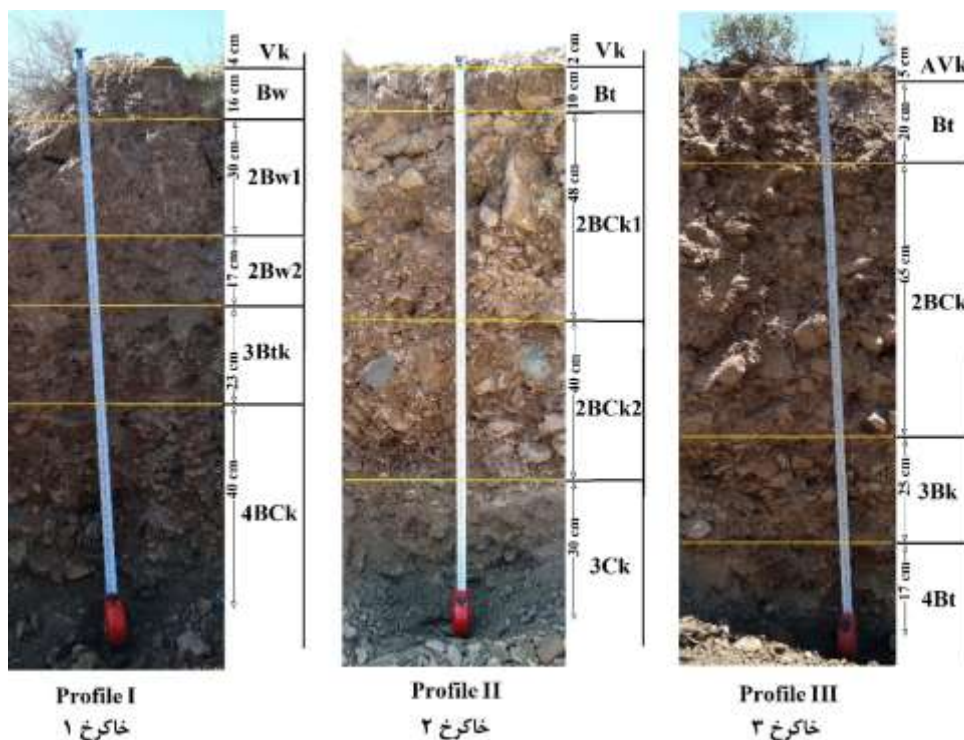
Figure 1- The location of the studied area and the studied profiles along the surface of the alluvial fan

نتایج

ویژگی های مورفولوژیکی، فیزیکی و شیمیایی افق های خاکرخ‌ها

در شکل ۲ نشان داده شده است. وجود لایه‌های متناوب رسوبات آبرفتی با مقادیر متفاوت قطعات سنگی نشان‌دهنده دوره‌های رسوبگذاری است که از ویژگی‌های رسوبات مخروط‌افکنه است و باعث ایجاد انقطاع سنگی در خاکرخ‌ها شده است. ویژگی‌های مورفولوژیکی، فیزیکی و شیمیایی خاکرخ‌ها در جدول‌های ۱ و ۲ آورده شده است.

مورفولوژی و ترتیب و توالی افق‌های شناسایی شده در خاکرخ‌ها



شکل ۲- مقاطع خاکرخ های مورد مطالعه و افق‌های شناسایی شده در آنها

Figure 2- The sequences of layers and horizons in the studied profiles

جدول ۱- برخی ویژگی‌های صحرایی و مورفولوژیکی افق‌های خاکرخ‌های مورد مطالعه

Table 1- Some field and morphological characteristics of the studied profile

افق Horizon	عمق (cm) Depth	رنگ خشک Dry color	رنگ مرطوب Wet color	قطعات سنگی (%) Coarse fragments	بافت Texture	ساختمان Structure*	تجمعات و مورفولوژی خاک Aggregations and soil morphology
Profile I خاکرخ شماره ۱							
Vk	0-4	10YR6/4	10YR5/4	15	cl	1 vn pl	Low biological crusts, biogenic carbonate
Bw	4-20	10YR6/4	10YR4/4	15	cl	2 vf sbk	Iron oxide matrix, low clay coating
2Bw1	20-50	10YR6/4	10YR4/4	18	cl	2 vf abk	Low Carbonate nodule, low clay coating, free iron oxide
2Bw2	50-67	10YR6/4	10YR4/4	18	l	2 vf sbk	Iron oxide nodule, low clay coating
3Btkb	67-90	7.5YR6/4	7.5YR4/4	52	scl	3 f sbk	Clay coating, iron oxide, carbonate nodule
4BCkb	90-130	10YR6/4	10YR5/4	55	scl	1 vf sbk	Carbonates pendants
Profile II خاکرخ شماره ۲							
Vk	0-2	10YR6/3	10YR4/3	20	l	3 vn, tn pl	Biological crusts, biogenic carbonate
Bt	2-12	7.5YR5/4	7.5YR4/4	10	cl	3 f abk	Iron oxide matrix, clay coating, red color
2BCk1	12-60	10YR6/4	10YR5/4	80	cl	1 f abk	Carbonates pendants
2BCk2	60-100	10YR6/3	10YR4/3	80	cl	1 vf, f abk	Carbonates pendants
3Ck	100-130	10YR7/3	10YR5/4	80	cl	0 sgr	Carbonates pendants
Profile III خاکرخ شماره ۳							
AVk	0-5	10YR5/4	10YR4/4	10	l	3 vn, tn pl	Biological crusts, biogenic carbonate, dark soil color
Bt	5-25	7.5YR5/4	7.5YR4/4	20	l	2 vf, f abk	Iron oxide matrix, clay coating
2BCk	25-90	10YR6/3	10YR4/3	78	scl	1 f sbk	Carbonates pendants
3Bk	90-115	10YR6/4	10YR4/4	75	scl	1 vf sbk	Carbonates pendants, sandy texture
4Bt	115-130	7.5YR5/4	7.5YR4/4	10	l	3 vf, f abk	Iron oxide matrix, deformed clay coating, red color

* Abbreviations used to describe soil texture and structure are based on the guidelines of the soil description and sampling book (Schoeneberger *et al.*, 2012).

cl: Clay loam, l: Loam, scl: Sandy clay loam, 0: Structureless, 1: Weak, 2: Moderate, 3: Strong, f: Fine, t: Thin, vf: Very fine, vn: Very thin, abk: Angular blocky, sbk: Subangular blocky, pl: Platy, sgr: Single grain.

جدول ۲- برخی ویژگی‌های فیزیکی و شیمیایی افق‌های خاکرخ‌های مورد مطالعه

Table 2- Some physical and chemical characteristics of the studied profile

افق Horizon	عمق (cm) Depth	رس (%) Clay	سیلت (%) Silt	شن (%) Sand	pH	EC (dS/m)	کلسیم کربنات معادل (%) calcium carbonate equivalent	کربن آلی (%) Organic carbon	تنفس میکروبی microbial respiration (mg/kg*day)	گچ (%) Gypsum
Profile I خاکرخ شماره ۱										
Vk	0-4	31.5	34.1	34.4	8.25	0.34	23.75	0.25	51.33	1.26
Bw	4-20	28.3	36.5	35.2	8.48	0.26	18.25	0.29	15.89	1.39
2Bw1	20-50	27.7	28.9	43.4	8.27	0.43	22.75	0.12	63.56	1.68
2Bw2	50-67	25.7	28.9	45.4	8.42	0.22	22.00	0.10	40.33	1.30
3Btkb	67-90	28.3	26.3	45.4	8.49	0.21	24.88	0.10	23.22	1.16
4BCkb	90-130	23.3	21.3	55.4	8.38	0.20	30.63	0.12	72.11	1.17
Profile II خاکرخ شماره ۲										
Vk	0-2	21.7	37.9	40.4	8.16	0.41	20.38	0.62	105.11	1.42
Bt	2-12	36.3	29.3	34.4	8.78	0.37	19.00	0.14	50.11	2.02
2BCk1	12-60	36.7	29.9	33.4	8.90	0.34	25.38	0.14	56.22	1.71
2BCk2	60-100	31.3	27.3	41.4	9.14	0.39	29.75	0.04	20.78	1.31
3Ck	100-130	35.3	29.3	35.4	9.01	0.39	29.00	0.04	31.78	1.64
Profile III خاکرخ شماره ۳										
AVk	0-5	22.9	42.7	34.4	8.09	0.45	16.63	0.82	45.22	1.30
Bt	5-25	27.5	37.3	35.2	7.64	0.26	16.20	0.43	44.00	1.43
2BCk	25-90	25.3	27.3	47.4	8.40	0.21	22.75	0.14	14.67	1.03
3Bk	90-115	20.7	18.3	61.0	8.74	0.27	28.63	0.10	77.00	1.31
4Bt	115-130	19.7	39.3	41.0	8.65	0.29	24.13	0.00	18.33	1.53

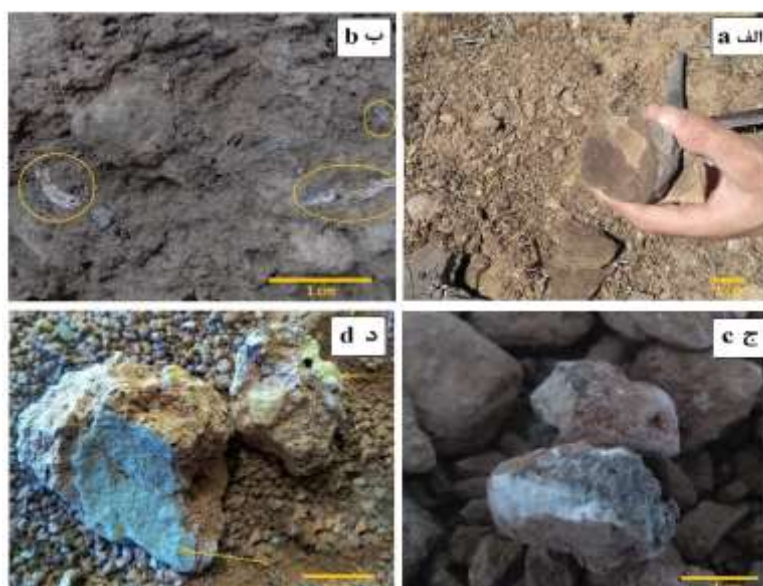
است که به عنوان انقطاع سنگی شناسایی گردید. در این افق، پندانت های آهکی در زیر سطوح سنگی که در شکل ۴ ج مشاهده می گردد و نشانگر افق مشخصه کلسیک خاک است. بخش سوم این خاکرخ دارای افق 3Ck است که دارای رنگ روشن تری نسبت به افق های رویین است. این افق بدون ساختمان، دارای پندانت آهکی در زیر سطوح سنگی است. بافت خاک این خاکرخ لوم رسی می باشد. EC خاک حداکثر ۰/۴۱ دسی زیمنس بر متر، pH در امتداد خاکرخ از ۸/۱۶ در سطح به ۹/۱۴ در لایه های زیرین می رسد و مقدار کربنات کلسیم معادل ۱۹-۲۹/۷۵ درصد متغیر بود.

خاکرخ شماره ۳، در قاعده مخروط افکنه قرار دارد که چهار دوره رسوبگذاری و به تبع آن چهار انقطاع سنگی تشخیص داده شد. بخش اول، دارای افق های AVk و Bt با ضخامت ۲۵ سانتی متر می باشد. افق AVk به دلیل داشتن ۰/۸ درصد کربن آلی و کمی تیره رنگ بودن در افق اصلی A قرار گرفته و به دلیل ساختمان وزیکولار و وجود پوسته های زیستی خاک به عنوان افق اصلی V نیز شناسایی شد. این افق کربنات بیوژنیک (شکل ۴ ب) در بخش ریشه ها تشکیل شده است ولی به دلیل نبود سایر شرایط افق کلسیک، به عنوان افق ژنتیکی در نظر گرفته شد. افق Bt این خاکرخ مشابه افق Bt در خاکرخ شماره ۲ می باشد و دارای ساختمان بلوکی متوسط است. بخش دوم دارای افق 2Bck (۲۵-۹۰ سانتی متر) به رنگ 10YR6/3 متمایز از رنگ افق رویین و دارای ۷۸ درصد قطعات سنگی، مشابه افق 2Bck خاکرخ شماره ۲، و دارای پندانت آهکی و شرایط افق کلسیک است. افق 3Bk دارای رنگ قهوه ای متمایل به زرد، بافت شنی تر و قطعات سنگی در اندازه کوچک تر از افق رویین، و به علت داشتن شرایط خاک سازی و کربنات بیوژنیک به عنوان افق B در نظر گرفته شد. بخش آخر این خاکرخ، از یک افق 4Bt، قرمز رنگ (7.5YR5/4)، دارای ساختمان بلوکی، پوسته رسی و بافت لومی، تشکیل شده است. همچنین، مقدار قطعات سنگی به طور محسوسی (۱۰ درصد) کمتر از افق رویین بود. بافت خاک در افق های کلسیک، لوم رسی شنی و در سایر لایه ها، لومی بود. مقدار کربنات کلسیم معادل در این خاکرخ ۲۸/۶-۱۶/۲ درصد متغیر بود. pH خاک ها بین ۸/۷۴-۷/۶۴ و EC آن ها حداکثر ۰/۴۵ دسی زیمنس بر متر بود.

سطح خاک مخروط افکنه بیش از ۲۰ درصد اجزاء درشت تر از دو میلی متر دارد و دارای سطوح جلای بیابانی^۱ می باشند (شکل ۳ الف). نکته جالب توجه در هر سه خاکرخ، وجود افق وزیکولار (V) است که دارای ساختمان ورقه ای و وزیکولار است. در این افق کربنات های پدوژنیک هم مشاهده شد که بخشی از آن، کربنات بیوژنیک است که در ریشه ها تشکیل شده است (شکل ۳ ب). در خاکرخ های مورد مطالعه افق سطحی اکریک و افق های زیرسطحی کمبیک (Bw)، کلسیک (Bk)، آرجیلیک (Bt) و کلسیک-آرجیلیک (Btk) وجود داشت.

خاکرخ شماره ۱، در بالادست مخروط افکنه قرار دارد. این خاکرخ دارای پنج افق متفاوت و چهار تغییر در نوع ماده مادری (انقطاع سنگی) است. در زیر افق وزیکولار نازک (Vk)، افق کمبیک (Bw) در عمق ۲۰-۴ سانتی متری قرار دارد که شواهدی کمی از پوسته رسی دارد و رنگ آن نسبت به افق رویی تیره تر و نسبت به افق های آرجیلیک روشن تر است (جدول ۱). در زیر افق Bw لایه با تکامل کم افق های کمبیک (2Bw1, 2Bw2) از نظر مقدار و شکل قطعات سنگی متفاوت از افق فوقانی و دارای کمی نودول های کربنات ثانویه بود. در زیر این افق ها، افق 3Btkb با ۵۲ درصد قطعات سنگی وجود داشت که نشان دهنده رسوبگذاری متفاوت بود و به عنوان انقطاع سنگی شناسایی شد. رنگ قهوه ای روشن متمایل به قرمز این افق نشان دهنده نودول و تجمعات کربنات ها (شکل ۳ د) به عنوان افق کلسیک و وجود پوسته رسی به عنوان افق آرجیلیک است. این افق دارای بافت متمایز نسبت به افق های رویین خود است (رس لومی شنی). افق 4Bckb در اعماق پایین تر این خاکرخ قرار دارد. این افق به دلیل وجود پندانت های آهکی در زیر سطوح سنگی، سنگریزه های درشت تر (شکل ۲) و رنگ متفاوت از افق رویین به عنوان انقطاع در نظر گرفته شد. بافت خاک در این خاکرخ از لوم رسی در افق های سطحی تا رس لومی شنی در افق های زیرین تغییر کرد. مقدار شن در افق زیرین، بیشترین مقدار (۵۵ درصد) را داشت. تغییرات نامنظم مقدار کربن آلی در این خاکرخ نشان دهنده تغییر در رسوبگذاری مواد آبرفتی است. مقدار کربنات کلسیم معادل نیز از ۱۸-۳۰ درصد متغیر بود. pH خاک ها کمتر از ۸/۵ و EC آن ها حداکثر ۰/۴۳ دسی زیمنس بر متر بود.

خاکرخ شماره ۲، در بخش میانی مخروط افکنه قرار گرفته است. بخش اول این خاکرخ دارای افق های Vk (صفر تا ۲ سانتی متر) و Bt (۲-۱۲ سانتی متر) است. افق Bt قرمز رنگ (7.5YR5/4)، با ساختمان بلوکی و بافت لوم رسی، دارای پوسته رسی که مقادیر رس و عمق آن نشان دهنده افق مشخصه آرجیلیک است. بخش دوم این خاکرخ، افق 2Bck1 و 2Bck2 می باشد که رنگ خاک آن ها از افق رویین متمایز است و دارای ۸۰ درصد قطعات سنگی که نمایانگر رسوبگذاری متفاوتی



شکل ۳- الف) سنگ‌های دارای جلای بیابان در سطح خاک (پیشوند Yermic در طبقه‌بندی جهانی)، ب) کلسیم کربنات بیوزنیک در افق سطحی خاک، ج) تشکیل پندات آهکی در زیر سنگریزه‌ها در افق‌های BCK، Bk و Ck، د) نودول و تجمع آهک در افق Btk خاکرخ شماره ۱
 Figure 3- a) Desert varnish rocks on the soil surface (prefix Yermic in the WRB), b) biogenic calcium carbonate in the surface soil horizon, c) formation of carbonates under the pebbles in the BCK, Bk, and Ck horizons, d) nodule and carbonates accumulation in the Btk horizon of profile

تغییرات کربن آلی و تنفس میکروبی خاک

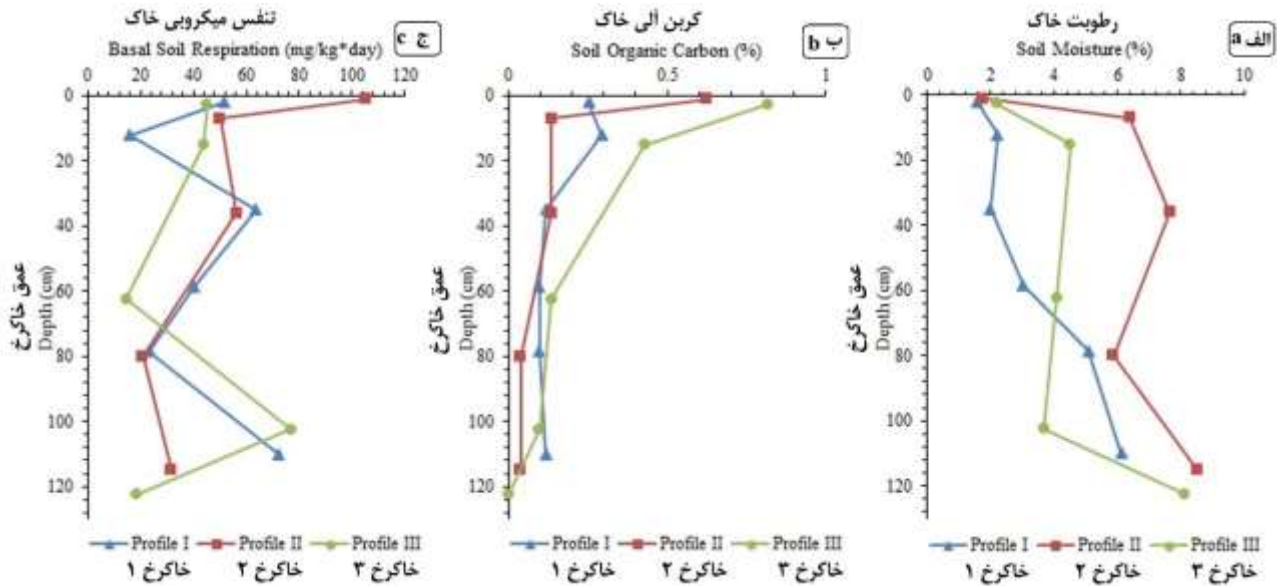
با توجه به شکل ۴ الف، مقدار رطوبت در سطح خاک مخروط افکنه از بالا به سمت قاعده، به علت شیب، کمی افزایش یافته و نفوذ آب در هرسه خاکرخ در دومین لایه افزایش داشته است. روند رطوبت به افق‌های انتهایی در خاکرخ شماره ۱ افزایشی بوده است. رطوبت موجود در خاکرخ شماره ۲ در افق 2Bck2 کاهش را نشان داد، زیرا مقدار شن این لایه بیشتر بوده و ماده مادری در لایه زیرین تغییر کرده است. رطوبت در افق‌های 2Bck و 3Bk خاکرخ شماره ۳ نیز کاهش داشته است، زیرا بافت خاک این دو افق درشت‌تر از افق‌های رویین و زیرین است و افق 3Bk کاهش بیشتری را نشان داد زیرا دارای بافت شنی تری بود. مطابق با شکل ۴ ب، میزان کربن آلی در سطح مخروط افکنه از بالادست به سمت پایین‌دست افزایش یافته است در حالی که به طور کلی در طول خاکرخ‌ها کاهش یافته است. بررسی تنفس میکروبی در سطح خاک شکل اراضی نشان داد که خاکرخ‌های شماره ۱ و ۳ دارای میزان مشابهی تنفس میکروبی هستند و مقدار کمتری نسبت به خاکرخ شماره ۲ دارند (شکل ۴ ج). روند تنفس میکروبی در طول هر سه خاکرخ نشان داد که در افق حاوی آرجیلیک، تنفس کاهش داشته است و در افق‌های کلسیکی به جزء افق 2BCK خاکرخ شماره ۳ افزایش یافته است.

روابط فیزیکی و شیمیایی خاک با افق‌ها

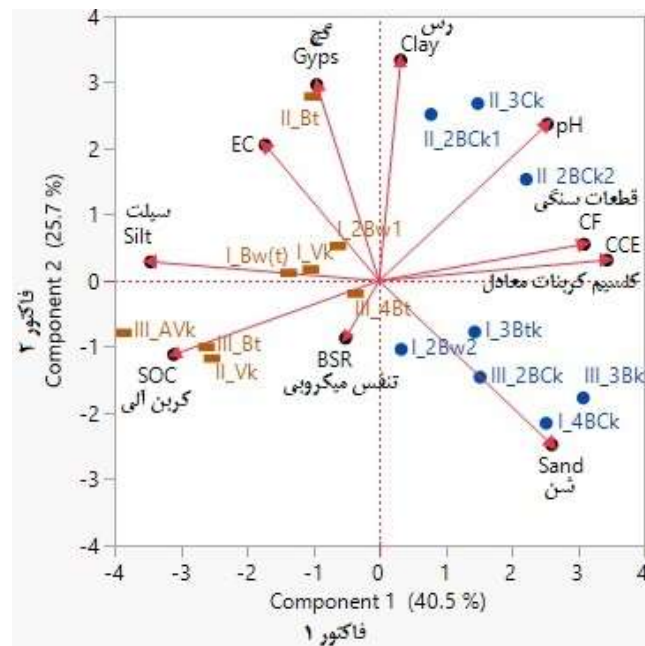
به منظور بررسی ارتباط خصوصیات فیزیکی و شیمیایی خاک با افق‌های مختلف خاک از آنالیز مؤلفه اصلی (PCA^۱) با استفاده از نرم افزار JMP PRO 16 بهره گرفته شد. نتایج PCA سه فاکتور اصلی را ارائه کرد که دارای مقادیر ویژه بیشتر از یک بودند و ۸۱ درصد از تغییرپذیری را توضیح دادند. مطابق با شکل ۵ فاکتور اول ۴۰/۵ درصد از کل تنوع را تخمین زد که بیشترین ارتباط مثبت را به ترتیب با کربنات کلسیم معادل، pH و قطعات سنگی، و بیشترین ارتباط منفی را با سیلت و کربن آلی داشت. فاکتور دوم ۲۵/۷ درصد از تغییرات را بیان کرد و بیشترین ارتباط را با مقادیر شن، گچ و رس ایجاد کرد. تنفس میکروبی خاک کمترین ارتباط را با محور فاکتورهای PCA داشت. فاکتور اول، نمودار رج‌بندی PCA (شکل ۵) افق‌های خاک را از نظر ویژگی‌های فیزیکوشیمیایی مشابه در دو دسته طبقه‌بندی کرد. افق‌های دارای مشخصه کربنات ثانویه در قسمت مثبت محور فاکتور اول واقع شدند که شامل: افق‌های 3Btkb و 4Bckb خاکرخ شماره ۱، افق‌های 2Bck و 3Ck خاکرخ شماره ۲، افق‌های 2Bck و 3Bk خاکرخ شماره ۳ و افق 2Bw₂ از خاکرخ شماره ۱ با کمترین تشابه در ویژگی

هستند. افق‌های آرچلیک همراه با مقادیر گچ بیشتری نسبت به افق روئین خود بودند زیرا گچ همراه با رس آبشویی و انتقال یافته است.

های این دسته قرار گرفت. در قسمت منفی فاکتور اول افق‌های سطحی اکریک و افق‌های داری مشخصه آرچلیک واقع شدند. افق‌های سطحی دارای مقادیر کربن آلی بیشتری نسبت به افق‌های زیرین



شکل ۴- بررسی روند تغییرات مقادیر رطوبت وزنی (الف)، کربن آلی (ب) و تنفس میکروبی (ج) در خاکرها
Figure 4- Examining the changes in moisture (a), organic carbon (b) and microbial respiration (c) values in the profiles



شکل ۵- آنالیز PCA ارتباط خصوصیات فیزیک و شیمیایی خاک با افق‌های مختلف خاک

(شماره خاکرها با شماره گذاری لاتین نمایش داده شده است، به عنوان مثال: II_Vk مربوط به خاکره شماره ۲ است)

Figure 5- PCA analysis of the relationship between physical and chemical characteristics of soil and different soil horizons (BSR: microbial respiration, SOC: organic carbon, CF: coarse fragments, CCE: calcium carbonate equivalent; profile numbers are displayed with Latin numbering, for example: II_Vk corresponds to profile number 2)

ویژگی‌های میکرومورفولوژی

بررسی مقاطع نازک افق‌های خاک مورد مطالعه نشان داد که افق‌ها دارای کربنات ثانویه، پوسته‌های رسی و هواپدگی آهن هستند. از آنجا که اقلیم کنونی منطقه نیمه‌خشک می‌باشد، رسوبات بادرستی به مقدار کم در سطح خاک قابل مشاهده است و باعث ایجاد ساختمان وزیکولار گردید (شکل ۶ الف). پوسته زیستی خزه در سطح خاک‌های ۲ و ۳ مشاهده شد (شکل ۶ ب). شکل ۶ ج در مرز افق‌های AVk و Bt نودول اورتیک کربنات که به صورت در جا شکل گرفته و تشکیل اگزالات کلسیم در ریشه قابل مشاهده است. تشکیل نودول کربنات به صورت آزاد در فضای خالی و تجمع کلسیت سفید رنگ به صورت نودول در افق V_k و AV_k در شکل ۶ د مشاهده شد. پوسته‌های رسی در اطراف حفرات و قطعات در افق Bt خاک‌های ۲ و ۳ نشان‌دهنده انتقال رس در نتیجه نفوذ آب از افق بالاتر است (شکل ۶ ه).

در افق کمبیک (2Bw) خاک‌رخ شماره ۱ نودول تیپیک آهن که دارای ذرات در ابعاد شن، دارای مرز واضحی با ماتریکس خاک است و نودول‌های ریز آهن به صورت پراکنده در این خاک‌رخ قابل رؤیت است. همچنین این افق دارای پوسته رسی بر روی دانه کوارتز می‌باشد که نمایانگر خاک‌سازی در این افق است ولی مقدار آن‌ها به حد کافی برای افق مشخصه نمی‌باشد (شکل ۶ و).

در افق‌های B_{ck}، کربنات‌ها به صورت نودول‌های تیپیک مشاهده شدند. مرفولوژی این نودول‌ها از نوع ماتریکس پدوفیچر^۱ بوده که از اشباع زمینه با کربنات ایجاد شده است (شکل ۶ ط)؛ اشباع شدن در حد متوسط بوده و اجزاء در اندازه سیلت به وضوح در نودول کربنات‌ها دیده می‌شود، همچنین نودول‌های آهن ماتریکس را اشباع کرده است. نودول‌های شکل گرفته به دلیل اینکه پس از تشکیل در زمینه جابه‌جایی نداشته‌اند از نوع اورتیک نودول می‌باشند (Stoops, 2003).

افق Btkb خاک‌رخ شماره ۱ علاوه بر کربنات ثانویه، قرمز شدن رنگ خاک در مقیاس ماکرومورفولوژی از دیگر پدیده خاک‌سازی این افق است. نودول‌های کربنات به صورت تیپیک^۲ هستند و ترکیبی از رس و سیلت از اجزاء زمینه در نودول‌ها قابل مشاهده بود. همچنین پوسته‌های رسی نازک در اطراف نودول‌های کربنات و حفرات این افق شکل گرفته‌اند، همچنین نودول‌های اکسید آهن در ماتریکس^۳ مشاهده شد (شکل ۶ ی). وجود پوسته‌های رسی بر روی نودول‌های کربنات شاهدهی بر رخداد یک دوره اقلیمی مرطوب بر اقلیم خشک بوده است؛ ابتدا تجمع کربنات‌ها در طی اقلیم خشک صورت گرفته و سپس در طی دوره مرطوب رس‌ها در اثر نفوذ آب از افق فوقانی در گذشته به این

افق انتقال یافته و به صورت پوسته رسی اطراف نودول‌ها قرار گرفته است. نودول‌های آهن به دلیل آزاد شدن آهن و رسوب به صورت اکسیدهای آهن همزمان با تشکیل افق آرجیلیک که شرایط هواپدگی فراهم بوده، تشکیل شده‌اند.

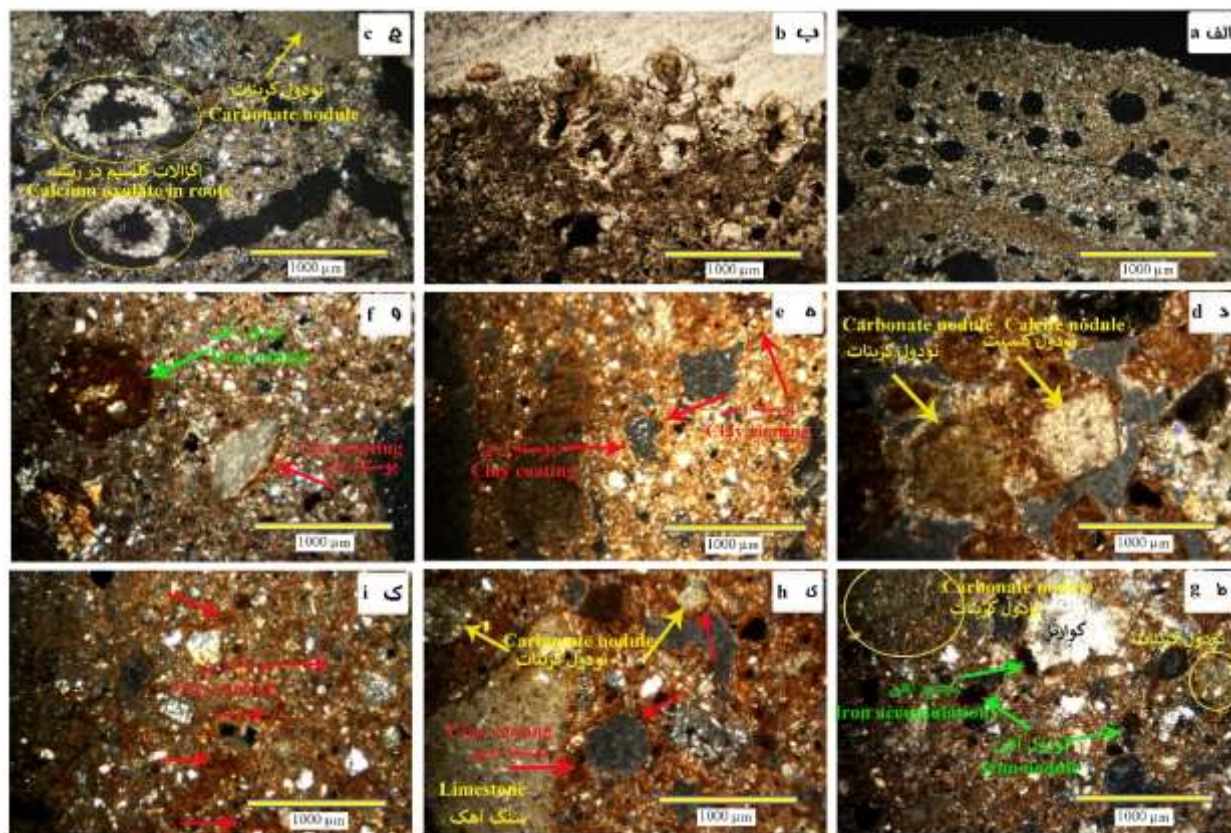
در افق 4Bt خاک‌رخ شماره ۳ ماتریکس متراکم و اشباع از پوسته‌های رسی به صورت پراکنده و تغییر شکل یافته^۴ به همراه نودول‌های آهن که در یک دوره مرطوب انتقال یافته و هواپدیده شده‌اند (شکل ۶ ک). میکرومورفولوژی پوسته‌های رسی در افق 4Bt در خاک‌رخ شماره ۳ نشان‌دهنده تشکیل آن در یک دوره مرطوب است که احتمالاً پس از آن یک دوره خشک‌تر حاکم شده که افق 3Bk گواه این موضوع است و کربنات ثانویه در این افق تشکیل شده و در نتیجه پوسته‌های رسی در افق زیرین (4Bt) در زمینه پراکنده شده‌اند.

طبقه‌بندی خاک

در جدول ۳ خاک‌رخ‌ها براساس دو سامانه رده‌بندی آمریکایی (Soil Survey Staff, 2022) و جهانی (IUSS Working Group WRB, 2022) طبقه‌بندی شده‌اند.

با توجه به افق‌های مشخصه آرجیلیک و کلسیک در خاک‌رخ‌ها و رژیم رطوبتی آریدیک در مرز زیریک منطقه طبقه‌بندی خاک بر اساس سامانه آمریکایی، افق کمبیک رویین در خاک‌رخ شماره ۱ دارای عمق مناسب برای مدفون در نظر گرفتن افق‌های زیرین را داشت و در طبقه‌بندی آمریکایی Xeric Haplocambids قرار گرفت و خاک‌رخ-های ۲ و ۳ مخروط افکنه در زیرگروه Xeric Calcargids قرار گرفتند. طبقه‌بندی به سامانه جهانی نیز تفاوت میان بخش بالای مخروط افکنه با بخش‌های میانی و قاعده را نشان داد (جدول ۳).

نکته قابل توجه در قابلیت سامانه جهانی برای طبقه‌بندی خاک‌های مدفون است. خاک‌رخ شماره ۱، خاک مدفون شده دارای افق کلسیک در سامانه جهانی مشخص شده است در صورتی که به این ویژگی در نامگذاری به روش آمریکایی اشاره نشده است. سامانه طبقه‌بندی جهانی وجود انقطاع سنگی در خاک‌رخ را با پسوند Raptic و حضور پوسته زیستی را با پسوند Biocrustic بیان کرده است؛ همچنین رسوبات آبرفتی و واریزه‌ای تشکیل‌دهنده مخروط افکنه با پسوند Fluvic و Solimovic بیان شدند، که از مزایای استفاده از این سامانه است.



شکل ۶- بررسی میکرومورفولوژی خاک افق‌ها؛ بجزء تصویر ب که در حالت PPL است، تمامی تصاویر در حالت XPL می‌باشند. الف) ساختمان وزیکولار در افق V_k و AV_k، ب) پوسته زیستی خزه بر روی سطح خاک‌رخ‌های شماره ۲ و ۳، ج) تشکیل اگزالات کلسیم در ریشه و نودول کربنات در افق V_k و AV_k، د) تشکیل نودول کربنات و کلسیت در افق V_k خاک‌رخ شماره ۱، ه) ماتریکس آهن‌دار و تشکیل پوسته رسی در اطراف حفره در افق Bt خاک‌رخ شماره ۲، ط) زمینه پورفیریکی، اورتیک نودول کربنات، نودول‌های اکسید آهن در ماتریکس در افق B_{ck}، و) زمینه متراکم و پورفیریکی، تشکیل پوسته رسی بر روی دانه کوارتز و تشکیل نودول اکسید آهن در افق 2B_w خاک‌رخ شماره ۱، ی) نودول کربنات، اشباع زمینه از اکسیدهای آهن و رس، پوشش سنگ آهک میکریتی و نودول‌ها توسط پوسته رسی نازک در افق B_{tkb} خاک‌رخ شماره ۱، ک) زمینه متراکم و اشباع از پوسته رسی در افق B_t خاک‌رخ شماره ۳.

Figure 6- a) vesicular structure in the V_k and AV_k horizons, b) moss biological crust on the surface of the profiles, c) formation of calcium oxalate in the roots and carbonate nodules in the V_k and AV_k horizons, d) formation of carbonate and calcite nodules in the V_k horizon of profile 1, e) iron oxide matrix and formation of clay coating around the void in the B_t horizon of profile 2, f) porphyritic background, orthic carbonate nodule, iron oxide nodules in the matrix in the B_{ck} horizon, g) dense and porphyritic background, clay coating formation on the quartz grain and iron oxide nodule formation in the 2B_w horizon of profile 1, h) carbonate nodule, saturation of the background with iron oxide and clay coating, micritic limestone cover and nodules by a thin clay coating in the B_{tkb} horizon, profile 1, i) dense background and saturation of clay coating in the horizon B_t profile 3

بحث

تغییر و تحول خاک

تشکیل شده‌اند. وجود لایه‌هایی با مقادیر و اندازه متفاوت قطعات سنگی و افق‌های مشخصه، نمایانگر تناوب رسوبگذاری آبرفتی و تغییر و تحول خاک‌ها در دوره‌های مختلف است؛ همچنین افق سطحی خاک شکل اراضی، وزیکولار و ورقه‌ای بود که در مناطق خشک و نیمه‌خشک معمول است (McFadden, 2013; Dietze et al., 2016).

در خاک‌های مورد بررسی توالی رسوبگذاری و افق‌های مختلف کمبیک، کلسیک و حداکثر تکامل آرچلیپیک مشاهده شد که نشان‌دهنده دوره‌های رسوبگذاری و خاک‌سازی که بسته به تغییر اقلیم و شدت آن

جدول ۳- طبقه‌بندی خاک‌های منطقه مورد مطالعه
Table 3- Classification of soils of the studied area

شماره خاکرخ Profile	موقعیت ژئومورفیک Geomorphic location	سامانه طبقه‌بندی آمریکایی Classification of Soil Taxonomy	سامانه طبقه‌بندی جهانی Classification of World Reference Base
I	بخش بالایی مخروط افکنه، ساختر قدیمی رسوبات The apex of the alluvial fan, Old structure of sediments	Xeric Haplocambids	Fulvic Yermic Calcic Cambisols (Loamic Aeolic Biocrustic Ochric Raptic) over Luvic Calcisols (Loamic Fulvic Ochric Raptic Solimovic)
II	بخش میانی مخروط افکنه، ساختر میانه رسوبات The middle of the alluvial fan, Middle structure of sediments	Xeric Calcicargids	Abruptic Calcic Yermic Luvisols (Loamic Fulvic Ochric Raptic Solimovic)
III	بخش قاعده مخروط افکنه، ساختر جدید رسوبات The base of the alluvial fan, New structure of sediments	Xeric Calcicargids	Abruptic Calcic Yermic Luvisols (Loamic Fulvic Ochric Raptic Solimovic)

همکاران (Rashidi *et al.*, 2022) نشان داده است که منطقه مشهد و اطراف آن، دارای یک خاک با تکامل کم با افق Bk یا Bw است که در دوره‌های مرطوب هولوسن تشکیل شده و افق‌های متکامل Bt و Btk در دوره‌های گرم و مرطوب آخرین چرخه یخبچالی-بین یخبچالی در پلیستوسن انتهایی تشکیل شده‌اند. با توجه به شرایط فعلی منطقه به نظر می‌رسد که خاک رویین در هولوسن تشکیل شده است. با این حال پوسته‌های زیستی و رژیم رطوبتی اریدیک در مرز زیریک منطقه توانسته شرایط تشکیل کربنات پدوژنیک و انتقال رس را باعث شود. نتایج مک فادن (McFadden, 2013) حاکی از آن بود که خاک‌هایی در زیر سنگفرش‌های بیابانی رشد می‌کنند که به‌طور فزاینده‌ای از گرد و غبار به دام افتاده تشکیل شده‌اند که متعاقباً به زیر منتقل می‌گردند؛ افق‌های وزیکولار، افق سطحی کلیدی خاک‌های رویین بیابانی، و افق‌های B غنی‌شده با کربنات کلسیم و رس ضخیم‌کننده، عمدتاً از طریق توسعه بر افزایشی و تورمی شکل می‌گیرند، که نوعی توسعه خاک تجمعی مرتبط با بالا آمدن خاک رویین بیابانی است. درحالی که افق Bw خاکرخ شماره ۱ بطوری که در جایگاه عمقی مقابل دو خاکرخ دیگر به دلیل اینکه دارای پوشش گیاهی و پوسته‌های زیستی خیلی کمتر در بخش بالایی مخروط افکنه واقع شده است؛ زیرا در این بخش ناپایداری و فرسایش بیشتر از بخش‌های میانی و قاعده است. پژوهش بشتیان و همکاران (Bashtian *et al.*, 2019) نشان داد که بخش بالایی این مخروط افکنه دارای پوشش زیستی کمتری نسبت به سایر بخش‌ها است. در نتیجه این افق کمبیک که دارای تحول کمتری نسبت به افق متقابل در دو خاکرخ دیگر، در این خاکرخ شکل گرفته است. با توجه به شکل ۷ می‌توان دریافت که مخروط افکنه دارای شکل

مدل جانسون و واتسون-استگنر (Johnson and Watson, 1987) تغییر و تحول خاک مخروط افکنه را به خوبی توضیح می‌دهد، زیرا خاک را تحت تأثیر فزاینده‌های پیشرونده و پسرونده می‌داند که به سوی تکامل و یا در خلاف آن حرکت می‌کند و این روندها با افق‌های مخروط افکنه هماهنگی دارد.

افق‌های وزیکولار توسط رسوبات بادرقتی در زمان کنونی تشکیل شده‌اند که اقلیم منطقه نیمه‌خشک می‌باشد، در حالی که منطقه از رسوبات آبرفتی و واریزه‌ای شکل گرفته است. یافته‌های ضیائی و همکاران (Ziyae *et al.*, 2018) نشان داد که برداشت رسوبات بادرقتی در استان خراسان رضوی به علت کمبود پوشش گیاهی سطح، سرعت باد و کمبود بارندگی رخ داده و در مناطق دیگر مانند مناطق کوهستانی و مخروط افکنه مورد مطالعه فرونشست آنها رخ داده است که مقدار آن ۷۵ گرم در متر مربع در سال است. این گرد و غبار توسط باران از روی ذرات درشت شسته و به زیر آنها منتقل شده و باعث تشکیل افق وزیکولار شده است. سطح خاک توسط پوسته‌های زیستی که در اقلیم اریدیک در مرز زیریک منطقه زندگی می‌کنند، آن‌ها نقش حیاتی در خواص و فرآیندهای مختلف خاک، به دام انداختن رسوبات، به‌ویژه ساختار منافذ سطحی خاک و فرآیندهای هیدرولوژیکی مرتبط با منافذ خاک، مانند نفوذ و تبخیر، ایفا می‌کنند (Sun *et al.*, 2023). آن‌ها به همراه پوشش گیاهی باعث حرکت آب در خاک می‌گردند، و با افزایش تنفس و تولید دی‌اکسید کربن باعث تشکیل کربنات پدوژنیک و بیوژنیک در افق وزیکولار می‌شوند و هم حرکت آب باعث انتقال رس و تشکیل پوسته‌های رسی در زیر این افق‌ها شده‌اند (شکل ۶ ج). مطالعات قبلی بیات و همکاران (Bayat *et al.*, 2013) و رشیدی و

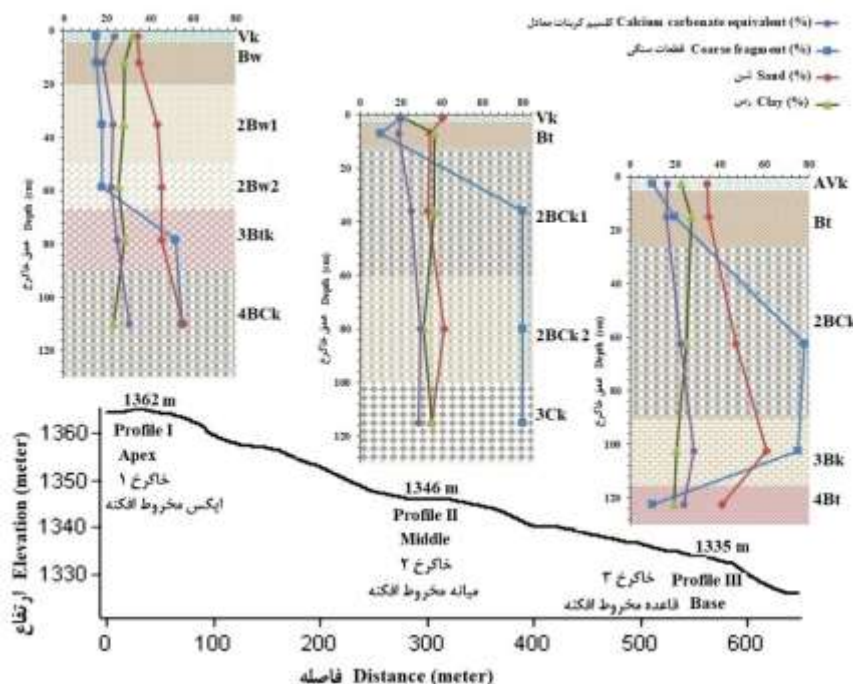
هم‌آوری و منعقد شدن رس می‌شود. تشکیل افق آرچیلیک در افق 4Bt خاکرخ شماره ۳ و 3Btkb خاکرخ شماره ۱ احتمالاً مربوط به اقلیم گرم و مرطوب در دوره بین یخچالی پلیستوسن شکل گرفته‌اند. وجود افق آرچیلیک در آب و هوای نیمه‌خشک نشان‌دهنده یک فرآیند قدیمی در شرایط ژئومورفولوژیکی پایدار بوده است (Khormali et al., 2003). در حالی که افق آرچیلیک (Bt) در خاکرخ‌های شماره ۲ و ۳ که در عمق کمتری تشکیل شده‌اند مربوط به همین دوره هولوسن می‌باشند؛ که بنظر می‌رسد میکرواقلیم به انتقال رس کمک کرده و یک افق آرچیلیک تشکیل شود.

تغییرات تنفس میکروبی در لایه‌های مختلف خاک

فرآیندهای هواپدگی طولانی مدت در بالادست مخروط‌افکنه در سطح خاک، باعث شکل‌گیری بافت رسی لومی شده است. در این موقعیت شکل اراضی به علت فرآیندهای فرسایشی، لایه‌های سطحی غنی از کربن آلی به پایین‌دست انتقال یافته است و در نتیجه معدنی شدن کربن آلی را در پی داشته است. در مقابل قاعده مخروط‌افکنه محیطی پایدارتر و دارای بافتی لومی است، کربن آلی افزایش یافته و نسبت معدنی شدن کربن آلی کاهش یافته است.

محدب می‌باشد و خاکرخ شماره ۲ در بخش تحذب قرار گرفته است؛ در نتیجه افق Bck در آن دارای ۸۰ درصد قطعات سنگی آبرفتی با ضخامت بیشتری از خاکرخ شماره ۳ است. در این افق نودول‌های آهکی را به صورت پندانت مشاهده کردیم، بنابراین یک روند تغییر و تحول براساس نتایج بدست آمده و مطالعات قبلی که در ایران انجام شده است، وجود دارد؛ رشیدی و همکاران (Rashidi et al., 2022) و کریمی و همکاران (Karimi et al., 2011) چند دوره خاک‌سازی را در شمال شرق ایران شناسایی کرده‌اند. خاک‌سازی با شدت کم در مشهد و حتی در کلات نادری، باعث تشکیل افق کلسیک شده است، مطالعات نشان داده است که یک دوره مرطوب در هولوسن موجب تشکیل کربنات‌های پدوژنیک در آن زمان شده است (Tanner et al., 2010; Karimi et al., 2011).

افق‌های دسته کربنات ثانویه نیاز به اقلیم خشک‌تری نسبت به افق‌های آرچیلیک که نیاز به اقلیم گرم و مرطوب دارند (شکل ۵). افق 3Btkb خاکرخ شماره ۱، نشان‌دهنده تغییر اقلیم است؛ کربنات‌ها قبل از انتقال رس تجمع یافته‌اند و توالی پوشش کربنات و رس در این افق نشان‌دهنده پلی‌ژنتیک بودن خاک است، زیر این دو فرآیند مجزا بوده و همزمان رخ نمی‌دهند (Gunat and Ransom, 2006; Ufnar, 2007; Bockheim and Hartemink, 2013). انتقال رس پس از انتقال کربنات کلسیم صورت می‌گیرد زیرا حضور یون‌های Ca^{2+} باعث



شکل ۷- نمای شماتیک روند تغییرات مقادیر کلسیم کربنات معادل، قطعات سنگی، شن و رس در عمق خاکرخ‌ها و توالی افق‌ها در امتداد گرادیان مخروط‌افکنه

Figure 7- Schematic representation of the changes in the amounts of calcium carbonate equivalent, coarse fragments, sand, and clay in the depth of the soil and the sequence of horizons along the gradient of the alluvial fan

در بخش میانی سطح خاک لومی می‌باشد و میزان تنفس میکروبی افزایش داشته است، زیرا حساسیت‌پذیری کربن آلی نسبت به تنفس کاهش یافته است. تنفس خاک بالا را می‌توان به علت تجزیه تسریع شده مواد آلی در نتیجه افزایش کیفیت بستر نسبت داد (He et al., 2018). این مطالعه نشان داد که لایه‌های دارای افق آرچیلیک دارای میزان تنفس کمتری نسبت به افق رویین می‌باشند. به نظر می‌رسد افق آرچیلیک به‌عنوان یک محدودکننده انتشار برای دی‌اکسید کربن بالا در اینجا عمل می‌کند (Schulz et al., 2011). در حالی که افق‌های کلسیک دارای تنفس بالاتری بوده‌اند، زیرا ممکن است در این افق‌ها کربنات کلسیم با مواد آلی کمپلکس ایجاد کرده و باعث حفظ کربن شوند. یافته‌های سودن و همکاران (Sugden et al., 2004) و ترومبور و همکاران (Trumbore et al., 2006) نشان داد که دی‌اکسید کربن عمیق از منابع متعدد حاصل می‌شود. منابع احتمالی دی‌اکسید کربن عمیق عبارتند از: تنفس ریشه و قارچ، تجزیه مواد آلی تاییده شده توسط فعالیت میکروبی، رسوب کلسیتی (حتی اعماق خاک). یافته‌های کشیرسکایا و همکاران (Kashirskaya et al., 2018) نشان داد که تعداد و زیست‌توده سلول‌های میکروبی در خاک‌های مدفون شده در دوره‌های رطوبت زیاد اتمسفری حداکثر بوده است. بنابراین در افق آرچیلیک، هوازدگی شدید و اجزای کربن باقی مانده مقاوم به تجزیه هستند که ممکن است اندازه‌گیری کربن آلی آن را نشان ندهد، مانند افق 4Bt که مقدار کربن آلی صفر است. تنفس میکروبی همبستگی مثبتی با کربن بیومس میکروبی و اجزای سبک کربن آلی دارد، زیرا آنها نقش منبع و ابزار برای تنفس میکروبی را بازی می‌کنند (Liu et al., 2021).

در بخش میانی سطح خاک لومی می‌باشد و میزان تنفس میکروبی افزایش داشته است، زیرا حساسیت‌پذیری کربن آلی نسبت به تنفس کاهش یافته است. تنفس خاک بالا را می‌توان به علت تجزیه تسریع شده مواد آلی در نتیجه افزایش کیفیت بستر نسبت داد (He et al., 2018). این مطالعه نشان داد که لایه‌های دارای افق آرچیلیک دارای میزان تنفس کمتری نسبت به افق رویین می‌باشند. به نظر می‌رسد افق آرچیلیک به‌عنوان یک محدودکننده انتشار برای دی‌اکسید کربن بالا در اینجا عمل می‌کند (Schulz et al., 2011). در حالی که افق‌های کلسیک دارای تنفس بالاتری بوده‌اند، زیرا ممکن است در این افق‌ها کربنات کلسیم با مواد آلی کمپلکس ایجاد کرده و باعث حفظ کربن شوند. یافته‌های سودن و همکاران (Sugden et al., 2004) و ترومبور و همکاران (Trumbore et al., 2006) نشان داد که دی‌اکسید کربن عمیق از منابع متعدد حاصل می‌شود. منابع احتمالی دی‌اکسید کربن عمیق عبارتند از: تنفس ریشه و قارچ، تجزیه مواد آلی تاییده شده توسط فعالیت میکروبی، رسوب کلسیتی (حتی اعماق خاک). یافته‌های کشیرسکایا و همکاران (Kashirskaya et al., 2018) نشان داد که تعداد و زیست‌توده سلول‌های میکروبی در خاک‌های مدفون شده در دوره‌های رطوبت زیاد اتمسفری حداکثر بوده است. بنابراین در افق آرچیلیک، هوازدگی شدید و اجزای کربن باقی مانده مقاوم به تجزیه هستند که ممکن است اندازه‌گیری کربن آلی آن را نشان ندهد، مانند افق 4Bt که مقدار کربن آلی صفر است. تنفس میکروبی همبستگی مثبتی با کربن بیومس میکروبی و اجزای سبک کربن آلی دارد، زیرا آنها نقش منبع و ابزار برای تنفس میکروبی را بازی می‌کنند (Liu et al., 2021).

سپاسگزاری

این مقاله بخشی از پژوهش‌های رساله دکتری (طرح پژوهشی ۳/۵۲۴۱۷) و تحت حمایت معاونت پژوهش و فناوری دانشگاه فردوسی مشهد انجام شده است.

نتیجه‌گیری

خاک مخروط‌افکنه براساس طبقه‌بندی آمریکایی در بخش بالایی

منابع

- Allison, L. E., & Moodie, C. D. (1965). Carbonate. *Methods of Soil Analysis: Part 2 Chemical and Microbiological Properties*, 9, 1379-1396. <https://doi.org/10.2134/agronmonogr9.2.c40>
- Anderson, J.P.E. (1982). *Soil respiration*. In A. L. Page (ed). *Methods of Soil Analysis. Part 2. Chemical and Microbiological Properties*. <http://doi.org/10.2134/agronmonogr9.2.2ed>
- Bashtian, M.H., Sepehr, A., Farzam, M., & Bahreini, M. (2019). Biological soil crusts, plant functional groups, and soil parameters in arid areas of Iran. *Polish Journal of Ecology*, 66(4), 337-351. <https://doi.org/10.3161/15052249PJE2018.66.4.003>
- Bayat, O., Karimzadeh, H., Eghbal, M., & Khademi, H. (2013). Pedogeomorphic evolution of an alluvial fan in central Iran. *Journal of Range and Watershed Management*, 66(2), 191-206. (In Persian). <https://doi.org/10.22059/jrwm.2013.35572>
- Bockheim, J.G., & Hartemink, A.E. (2013). Distribution and classification of soils with clay-enriched horizons in the USA. *Geoderma*, 209, 153-160. <https://doi.org/10.1016/j.geoderma.2013.06.009>
- Bullock, P., Fedoroff, N., Jongerius, A., Stoops, G., & Tursina, T. (1985). *Handbook for soil thin section description*.

- Waine Research.
7. Buol, S.W., Southard, R.J., Graham, R.C., & McDaniel, P.A. (2011). *Soil genesis and classification*. John Wiley & Sons. [https://www.wiley.com/en-us/Soil Genesis and Classification](https://www.wiley.com/en-us/Soil+Genesis+and+Classification)
 8. Dietze, M., Dietze, E., Lomax, J., Fuchs, M., Kleber, A., & Wells, S.G. (2016). Environmental history recorded in aeolian deposits under stone pavements, Mojave Desert, USA. *Quaternary Research*, 85(1), 4-16. <https://doi.org/10.1016/j.yqres.2015.11.007>
 9. Dowlatabadi, S., Amirabadizadeh, M., & Zarei, M. (2022). Evaluation of WetSpas-M model for estimation of hydrological response of Neyshabur-Rookh watershed to climate change of future years. *Water and Soil*. (In Persian). <https://doi.org/10.22067/JSW.2022.78598.1199>
 10. Gee, G.W., & Bauder, J.W. (1986). Particle-size analysis. *Methods of soil analysis: Part 1 Physical and mineralogical methods*, 5, 383-411. <https://doi.org/10.2136/sssabookser5.1.2ed.c15>
 11. Ghaemi, F. (1994). Geological map of Neyshabur, 1:100000 scale, Ministry of Mines and Metals, Geological Organization of Iran.
 12. Ghasemzadeh Ganjehie, M., Karimi, A.R., Zeinadini, A., & Khorasani, R. (2017). Investigation of clay mineralogy, micromorphology and evolution of soils in Bajestan Playa. *Water and Soil*, 30(6), 2046-2059. (In Persian). <https://doi.org/10.22067/JSW.V30I6.51463>
 13. Gunal, H., & Ransom, M.D. (2006). Clay illuviation and calcium carbonate accumulation along a precipitation gradient in Kansas. *Catena*, 68(1), 59-69. <https://doi.org/10.1016/j.catena.2006.04.027>
 14. He, Z.B., Chen, L.F., Du, J., Zhu, X., Lin, P.F., Li, J., & Xiang, Y.Z. (2018). Responses of soil organic carbon, soil respiration, and associated soil properties to long-term thinning in a semiarid spruce plantation in northwestern China. *Land Degradation & Development*, 29(12), 4387-4396. <https://doi.org/10.1002/ldr.3196>
 15. IUSS Working Group WRB. (2022). World Reference Base for Soil Resources. International soil classification system for naming soils and creating legends for soil maps. 4 edition. International Union of Soil Sciences (IUSS), Vienna, Austria. <https://www.iuss.org/publications/iuss-alerts-2021-2022/iuss-alert-205-july-2022/>
 16. Jenny, H. (1981). The Soil Resource-Origin and Behavior. Ecological Studies 37. *Soil Science*, 132(5), 380. https://journals.lww.com/soilsci/Citation/1981/11000/The_Soil_Resource_Origin_and_Behavior__Ecological.10.aspx
 17. Johnson, D.L., & Watson-Stegner, D. (1987). Evolution model of pedogenesis. *Soil Science*, 143(5), 349-366. https://journals.lww.com/soilsci/Abstract/1987/05000/EVOLUTION_MODEL_OF_PEDOGENESIS.5.aspx
 18. Karimi, A., Frechen, M., Khademi, H., Kehl, M., & Jalalian, A. (2011). Chronostratigraphy of loess deposits in northeast Iran. *Quaternary International*, 234(1-2), 124-132. <https://doi.org/10.1016/j.quaint.2009.08.002>
 19. Khormali, F., Abtahi, A., Mahmoodi, S., & Stoops, G. (2003). Argillic horizon development in calcareous soils of arid and semiarid regions of southern Iran. *Catena*, 53(3), 273-301. [https://doi.org/10.1016/S0341-8162\(03\)00040-7](https://doi.org/10.1016/S0341-8162(03)00040-7)
 20. Le Quééré, C., Moriarty, R., Andrew, R. M., Peters, G. P., Ciais, P., Friedlingstein, P., ... & Zeng, N. (2015). Global carbon budget 2014. *Earth System Science Data*, 7(1), 47-85. DOI: <https://doi.org/10.5194/essd-7-47-2015>
 21. Liu, T., Peng, D., Tan, Z., Guo, J., & Zhang, Y. (2021). Effects of stand density on soil respiration and soil labile organic carbon and their influence mechanism in Larix Principis-Rupprechtii plantations. <https://doi.org/10.21203/rs.3.rs-143559/v1>
 22. McFadden, L.D. (2013). Strongly dust-influenced soils and what they tell us about landscape dynamics in vegetated aridlands of the southwestern United States. [https://doi.org/10.1130/2013.2500\(15\)](https://doi.org/10.1130/2013.2500(15))
 23. Nelson, D.W., & Sommers, L.E. (1996). Total carbon, organic carbon, and organic matter. *Methods of soil analysis: Part 3 Chemical methods*, 5, 961-1010. <https://doi.org/10.2136/sssabookser5.3.c34>
 24. Omran, E.S.E. (2016). A simple model for rapid gypsum determination in arid soils. *Modeling Earth Systems and Environment*, 2, 1-12. <https://doi.org/10.1007/s40808-016-0242-3>
 25. Ponti, D.J. (1985). The quaternary alluvial sequence of the Antelope Valley, California. *Geological Society of America Special Paper*, 203, 79-96. <https://pubs.geoscienceworld.org/gsa/books/book/339/chapter/pdf/965614/spe203-0079.pdf>
 26. Rashidi, Z., Karimi, A., Murray, A., Khormali, F., Farpoor, M.H., & Sohbati, R. (2022). Late Pleistocene-Holocene pedogenesis and palaeoclimate in western Asia from palaeosols of the Central Iranian Plateau. *Boreas*, 51(1), 201-218. <https://doi.org/10.1111/bor.12541>
 27. Schaetzl, R.J., & Thompson, M.L. (2015). *Soils*. Cambridge university press. <https://www.cambridge.org/ir/universitypress/subjects/earth-and-environmental-science/soil-science/soils-genesis-and-geomorphology-2nd-edition>
 28. Schulz, M., Stonestrom, D., Von Kiparski, G., Lawrence, C., Masiello, C., White, A., & Fitzpatrick, J. (2011). Seasonal dynamics of CO₂ profiles across a soil chronosequence, Santa Cruz, California. *Applied Geochemistry*, 26, S132-S134. <https://doi.org/10.1016/j.apgeochem.2011.03.048>
 29. Schoeneberger, P.J., Wysocki, D.A., & Benham, E.C. (Eds.). (2012). *Field book for describing and sampling soils*. Government Printing Office.

30. Soil Survey Staff. (2022). Keys to Soil Taxonomy, 13th ed. USDA-Natural Resources Conservation Service. <https://www.nrcs.usda.gov/resources/guides-and-instructions/keys-to-soil-taxonomy>
31. Stock, J.D., Schmidt, K.M., & Miller, D.M. (2008). Controls on alluvial fan long-profiles. *Geological Society of America Bulletin*, 120(5-6), 619-640. <https://doi.org/10.1130/B26208.1>
32. Stoops G. (2003). Guidelines for analysis and description of soil and Regolith thin sections. Soil Science Society of America. Inc. *Madison, Wisconsin*. 184p.
33. Stoops, G. (2018). Micromorphology as a tool in soil and regolith studies. In Interpretation of micromorphological features of soils and regoliths (pp. 1-19). Elsevier. <https://doi.org/10.1016/B978-0-444-63522-8.00001-2>
34. Sugden, A., Stone, R., & Ash, C. (2004). Ecology in the underworld. *Science*, 304(5677), 1613-1613. <https://doi.org/10.1126/science.304.5677.1613>
35. Sun, F., Xiao, B., Li, S., Yu, X., Kidron, G.J., & Heitman, J. (2023). Direct evidence and mechanism for biocrust-induced improvements in pore structure of dryland soil and the hydrological implications. *Journal of Hydrology*, 129846. <https://doi.org/10.1016/j.jhydrol.2023.129846>
36. Tanner, L.H. (2010). Continental carbonates as indicators of paleoclimate. *Developments in Sedimentology*, 62, 179-214. [https://doi.org/10.1016/S0070-4571\(09\)06204-9](https://doi.org/10.1016/S0070-4571(09)06204-9)
37. Trumbore, S., Da Costa, E.S., Nepstad, D.C., Barbosa De Camargo, P., Martinelli, L. A., Ray, D., ... & Silver, W. (2006). Dynamics of fine root carbon in Amazonian tropical ecosystems and the contribution of roots to soil respiration. *Global Change Biology*, 12(2), 217-229. <https://doi.org/10.1111/j.1365-2486.2005.001063.x>
38. Ufnar, D. F. (2007). Clay coatings from a modern soil chronosequence: a tool for estimating the relative age of well-drained paleosols. *Geoderma*, 141(3-4), 181-200. <https://doi.org/10.1016/j.geoderma.2007.05.017>
39. Weber, B., Belnap, J., Büdel, B., Antoninka, A. J., Barger, N.N., Chaudhary, V.B., ... & Bowker, M.A. (2022). What is a biocrust? A refined, contemporary definition for a broadening research community. *Biological Reviews*, 97(5), 1768-1785. <https://doi.org/10.1111/brv.12862>
40. Weldmichael, T.G., Michéli, E., Fodor, H., & Simon, B. (2020). The influence of depth on soil chemical properties and microbial respiration in the upper soil horizons. *Eurasian Soil Science*, 53(6), 780-786. <https://doi.org/10.1134/S1064229320060137>
41. Williams, A.J., Buck, B.J., & Beyene, M.A. (2012). Biological soil crusts in the Mojave Desert, USA: micromorphology and pedogenesis. *Soil Science Society of America Journal*, 76(5), 1685-1695. <https://doi.org/10.2136/sssaj2012.0021>
42. Wood, B.D., Keller, C.K., & Johnstone, D.L. (1993). In situ measurement of microbial activity and controls on microbial CO₂ production in the unsaturated zone. *Water Resources Research*, 29(3), 647-659. <https://doi.org/10.1029/92WR02315>
43. Xiao, B., Bowker, M.A., Zhao, Y., Chamizo, S., & Issa, O.M. (2022). Biocrusts: Engineers and architects of surface soil properties, functions, and processes in dryland ecosystems. *Geoderma*, 424, 116015. <https://doi.org/10.1016/j.geoderma.2022.116015>
44. Ziyae, A., Karimi, A., Lakzian, A., & Khademi, H. (2018). Dust deposition rate and its relationship to some climatic parameters in Khorasan Razavi province. *Journal of Geography and Environmental Hazards*, 7(2), 95-114. (In Persian). <https://doi.org/10.22067/GEO.V7I2.66306>